

Table 4. Analysis of variance table.

Factor	S. S	d. f	m. e	E (v)	Fo	F(0.01)	F(0.05)
A	2498.6	2	1249.3	$\sigma_E^2 + 10\sigma_A^2$	15.6*	5.66	3.42
B	68.6	4	171.4	$\sigma_E^2 + 6\sigma_B^2$	2.15	4.26	2.80
Error E	1834.7	23	79.8	$\sigma_E^2$			
Total							

\* Significant at 0.01 level.

$\sigma_E = \sqrt{79.8} = 8.9$  で  $\bar{R}$  より求めた  $\hat{\sigma}_E = 8.5$  と大差がない。

#### IV. 結 言

現段階において鋼中の酸素含有量を管理するにあたつて N.R.C 真空溶融ガス分析装置の精度管理は今回の標準試料でも十分に管理ができる。しかし将来試料採取法が改良され、そのバラツキが少なくなつた場合標準試料の選定には十分考慮する必要がある。

#### (111) 試作溶鋼酸素計の測定におよぼす 2, 3 の因子の影響

日本钢管技術研究所 P.531 ~ 533

○中村 正十・土田 正治

Influence of Some Factors on Measurement with an Oxygenmeter Trial Manufactured.

Masato NAKAMURA and Shoji TSUCHIDA.

#### I. 緒 言

前回<sup>1)</sup>および前々回<sup>2)</sup>の講演大会で溶鋼酸素計の試作の概要と製鋼作業に利用した例を述べた。溶鋼酸素計はその原理を溶鋼中の酸素と炭素の反応における発生量から溶鋼中の酸素を求めるものであるので、溶鋼の条件および測定方法などに注意を払わなければならない。今回は溶鋼中は溶存する窒素および水素のガス、測定時の炭素量溶鋼温度および測定用の石英ヘッドの形状の影響などにつき検討した結果を報告する。

#### II. 試 験 結 果

##### 1. 石英ヘッドの形状

石英ヘッドの形状はFig. 1 に示す通りである。測定時

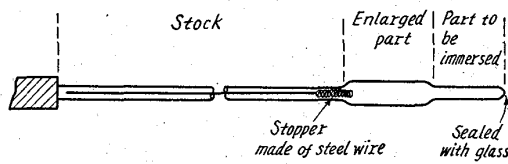


Fig. 1. Shape of the oxygenmeter-head made of opaque quartz-glass.

先端のガラスが溶解し溶鋼がヘッド内に侵入し、拡大部分で飛散しながらガスを放出する。そこでこの溶鋼の飛散程度を変化させ、その影響をみるために拡大部分の径を変えて試験を行なつた。この結果を Table 1 に示す。(同一溶鋼に対し 2 台の溶鋼酸素計で同時に測定した)、既報<sup>1)</sup>の通り、10mm φ の場合は吸上重量にかなりの差があつても単位重量当たりに換算するとすぐれた再現性を

Table 1. Effect of the diameter of the enlarged part of oxygen-meter-head.

Test No.	Diameter of the enlarged part (mm)	Total pressure measured (mmHg)	Weight of sample (g)	mm Hg /10 g
1	15	153	55	28
	10	83	23	36
2	15	143	52	27.5
	10	56	18.5	30.2
3	10	33	9.5	34.7
	25	300	113	26.6

Table 2. Effect of the size of the glass-sealed part.

Test No.	Diameter of the glass-sealed part					
	1~1.5 mm φ		3 mm φ		5 mm φ	
	Measured value mm Hg/10 g	Ratio of two values	Measured value mm Hg/10 g	Ratio of two values	Measured value mm Hg/10 g	Ratio of two values
1	25.3 24.2	1.05	26.3 25.6	1.03	22.3 22.0	1.02
2	22.7 25.3	0.90	23.6 22.6	1.04	21.4 19.3	1.11
3	31.8 41.7	0.77	28.5 29.0	0.98	31.9 30.0	1.06
4	26.7 36.5	0.73	38.0 39.5	0.96	27.6 34.0	0.81

示すが、径の異なる場合は再現性はみられない。この原因は溶鋼の吸上げ状況が異なるためである。

## 2. 先端ガラス封じ径の影響

拡大部径 10mm  $\phi$  の石英ヘッドの先端部ガラス封じ径が 1~1.5mm, 約 3mm および 5mm の 3 種類につき、前と同様 2 台の計器による同時測定を行なつた。結果を Table 2 に示す。この結果ガラス封じ径 3mm のものが最も再現性がよい。

## 3. 放出ガスの組成とその影響

溶鋼酸素計内に溶鋼から放出するガスの組成は、Table 3 のように大部分 CO, CO<sub>2</sub> および H<sub>2</sub> よりなる。放出されたガスの全量と (CO+CO<sub>2</sub>) の比をとると Fig. 2 のようになりその比は 0.85 である。なお溶鋼中の水素含有量と放出ガス中の水素量の関係を Fig. 3 に示す。

窒素は平炉炉前では 0.002~0.003% で酸素計内の放出ガス中にも認められず本測定には影響を与えない。ただし特に窒素の高い場合は明らかに影響が認められる。

## 4. 鋼浴炭素量の影響

前回迄は炭素量 0.1% 付近から 0.25% 程度迄の溶鋼

Table 3. Composition of the evolved gas in the oxygenmeter.

Specimens	CO	CO <sub>2</sub>	H <sub>2</sub>	vol%
Steel bath in the furnace	89~91	2~3	6~9	
In the ladle (rimmed steel)	75~88	0~7	11~18	

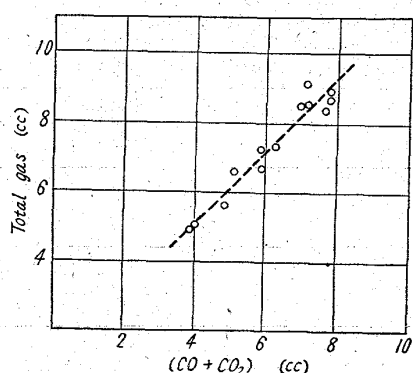


Fig. 2. Relation between the volume of the evolved gas and that of (CO+CO<sub>2</sub>).

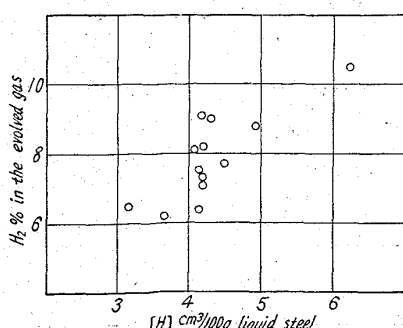


Fig. 3. Relation between H<sub>2</sub>% in the evolved gas and [H] cm<sup>3</sup>/100g liquid steel.

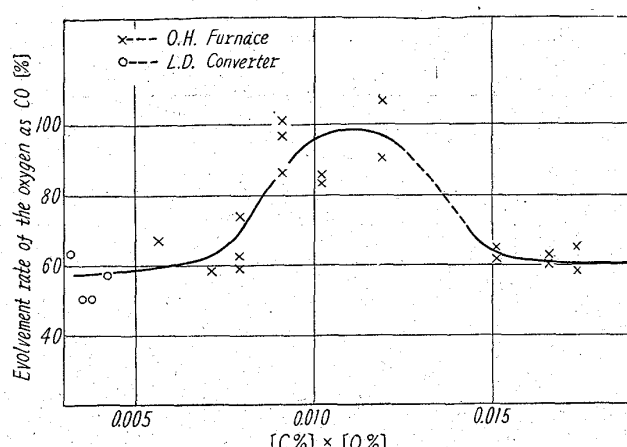


Fig. 4. Effect of [C%]\*[O%] on the evolution-rate of the oxygen as CO in the oxygen-meter.

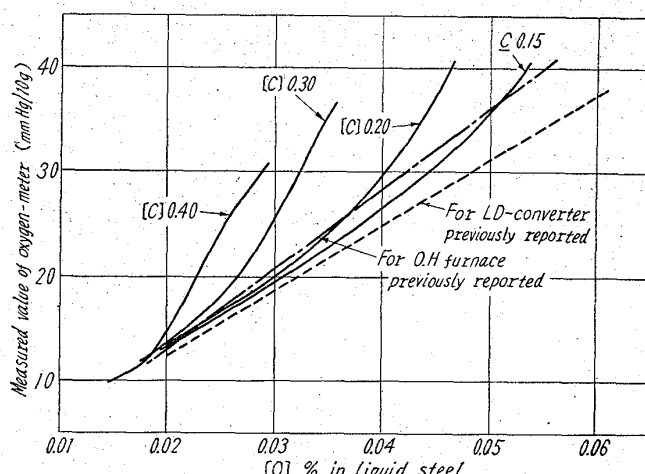


Fig. 5. Calibration lines of the oxygen in steel at various C%.

を対象に報告した。本法は元来溶鋼中の C-O 反応を利用するものであり炭素量の影響が考えられるので、検討を行なつた。C=0.1%以下の場合の C と測定値との関係は、0.05%C 付近より放出ガスが次第に減少し C-O 反応が C によって規制されることを示している。極低炭素の領域ではこれによつて C の推定も可能となる。

次に真空溶融法の O% を規準として測定時の O の CO としての放出率を C×O と対比させると Fig. 4 に示すごとく C×O=0.01 付近で max. がみられる。この関係をもとに酸素の検量線に対する C の影響を、Fig. 5 に示す。

## 5. 鋼浴温度等の影響

1540°~1630°C の範囲で温度の影響を検討した。この結果高温ほど鋼浴中の酸素が高いが、測定値には影響を与えない。同様に Mn も ~0.3% 位迄影響しない。

## III. 総括

溶鋼酸素計による測定に関して 2, 3 の因子の影響を検討した。

1. 測定用ヘッドの形状は Fig. 1 に示すとおりで、拡大部の径 10mm  $\phi$ , 先端ガラス封じ部 3mm  $\phi$  が最も

よい。

2. 放出ガスの組成はほぼ一定で  $\text{CO} + \text{CO}_2$  が 0.85 で一定となり  $\text{H}_2$  および  $\text{N}_2$  の影響はほとんど無視してよい。ただし特に高い場合は影響がある。

3. C は大きな影響があり、真空溶融法の酸素分析値を基準として C % 別の検量線を作製した。ただし C 0.05% 付近より少い場合は C → O 反応が C によって規制されるため極低炭素の領域では C の推定も可能となる。

4. 鋼浴温度、Mn 量などは通常の条件では影響がない。

### 文 献

- 1) 鉄と鋼, 47 (1961), p. 302~304.
- 2) " " p. 1379~1381.

### (112) ガスクロマトグラフによるコークス炉発生ガスの組成調査

(製鉄所におけるガスクロマトグラフの応用—I)

八幡製鉄所技術研究所 P. 5-33 ~ 574

工博 城 博・○美浦義明・木下茂治

Gas Chromatographic Examination on Compositions of Raw Gas Produced from Coke Ovens. 210-62112

(Application of gas chromatography to iron and steel works—I)

Dr. Hiroshi JOH, Yoshiaki MIURA  
and Shigebaru KINOSHITA.

### I. 緒 言

ガスクロマトグラフの製鉄所における応用例として前回<sup>1)</sup>に引き続き、コークス炉発生ガスの組成調査を行なつた。コークス炉ガスの分析は通常ヘンペル法<sup>2)</sup>またはオルザット法により行なわれているが、分析成分のうち飽和炭化水素については、これらの同族体成分の分離定量は困難である。したがつて分析結果から発生ガスの発熱量を計算により求める際も、かたよりを生ずる原因となる。またこれら現行法による分析所要時間についても 1 時間近くを要し、その点でも具合がわるい。

以上のような点からみて、ガスクロマトグラフを利用すれば、ヘンペル法における上述の諸点の実態を明らかにし、さらにその解決をはかる上に役立つのではないかと考え、研究に着手した。今回はまず、ガスクロマトグラフによる分析条件を検討したのち分析操作を確立し、現場コークス炉発生ガスの分析を行なつて冶金用コーク

ス製造過程における乾留時間と発生ガス組成の関係を明らかにし、一方分析値についてはヘンペル法による値と比較検討した。これらの結果について報告する。

### II. 使 用 装 置

前報<sup>1)</sup>と同じく島津製作所 GC-1A および GC-2A 型の 2 台ならびにそれらの付属品を用いた。

### III. 分析条件の検討

#### (1) 定 性 分 析

今回の分析対象成分は  $\text{H}_2$ ,  $\text{O}_2$ ,  $\text{N}_2$ ,  $\text{CO}$ ,  $\text{CO}_2$ ,  $\text{CH}_4$ ,  $\text{C}_2\text{H}_6$ ,  $\text{C}_3\text{H}_8$ ,  $\text{C}_2\text{H}_4$ ,  $\text{C}_3\text{H}_6$  などとし、とくに飽和および不飽和炭化水素の分離定量に重点をおいた。まず使用する充填剤は前回と同じ理由により、2 種または 2 種以上必要であるのでこの点について検討した。すなわち通常用いられているモレキュラーシーブ 5A, オリカゲルの 2 種を充填剤として使用すれば分析可能な成分としては  $\text{H}_2$ ,  $\text{O}_2$ ,  $\text{N}_2$ ,  $\text{CO}$ ,  $\text{CH}_4$  (以上モレキュラーシーブ 5A) および  $\text{C}_2\text{H}_6$ ,  $\text{CO}_2$ ,  $\text{C}_2\text{H}_4$  (以上シリカゲル) の 8 成分である。 $\text{C}_3\text{H}_8$ ,  $\text{C}_3\text{H}_6$  についてはシリカゲルでも分析できるが、保持時間が非常に大きく、また試料中における含有量も少ないので、クロマトグラムピークははだらかであり検出感度も低く分析にはあまり適していない。したがつて  $\text{C}_3\text{H}_8$ ,  $\text{C}_3\text{H}_6$  については手持の充填剤について検討の結果、トリイソブチレンを用いることにした。トリイソブチレンは沸点が低くそのため常温で使用するときは揮発するので徐々に分離能がわるくなつたが、他に適当なものが入手できなかつたので今回はこれを用いることにした。

つぎにキャリヤーガスについては  $\text{H}_2$  を分析する必要上、前報でも述べたように He は使用できないので、モレキュラーシーブ 5A の場合のみ Ar を用い他の場合は He を用いた。その他の条件についても若干の検討を行ない Table 1 に示すように分析条件をきめた。また Table 1 に示す 3 つの条件の場合のクロマトグラムの例を Fig. 1 に示した。

#### (2) 定 量 分 析

各成分ごとに純粋ガスを用いてあらかじめピーク高—ガス容量の関係直線を求めておき、検量線として使用することにした。ただし  $\text{C}_2\text{H}_6$ ,  $\text{C}_3\text{H}_8$ ,  $\text{C}_3\text{H}_6$  3 成分については、これらの純粋ガスの手持ちがなかつたので、便宜上シリカゲル ( $\text{C}_2\text{H}_6$ ), トリイソブチレン ( $\text{C}_3\text{H}_8$ ,  $\text{C}_3\text{H}_6$ ) それぞれの場合のエチレンを標準に用い、補正係数<sup>3)</sup> によつて補正して作成した検量線を用いた。

試料ガスは注射器を用いて 1~2 cc を採取し、セラムキャップを通して注入した。

Table 1. Conditions for analyses of coke oven gas.

No.	Apparatus	Column				Carrier gas (ml/mn)	Detector (Katharometer)		Components analyzed	Samples taken (ml)
		Packing	Particle size (mesh)	Length (m)	Temp. (°C)		Temp. (°C)	Bridge current (mA)		
1	GC-1A	Molecular sieve 5 A	30~60	2.25	50	60(Ar)	50	150	$\text{H}_2$ , $\text{O}_2$ , $\text{N}_2$ , $\text{CH}_4$ , $\text{CO}$	1
2	GC-2A	Silica gel	50~80	2	50	38(He)	50	180	$\text{C}_2\text{H}_6$ , $\text{CO}_2$ , $\text{C}_2\text{H}_4$ ,	2
3	GC-2A	Triisobutylene	30~60	3	20	40(He)	50	180	$\text{C}_3\text{H}_8$ , $\text{C}_3\text{H}_6$	2